

O conteúdo do presente relatório é de única responsabilidade do(s) autor(es).  
(The contents of this report are the sole responsibility of the author(s).)

**Conjunto fonte máximo em grafos de  
comparabilidade**

*Marcos Fernando Andrielli*

*Célia Picinin de Mello*

**Relatório Técnico IC-96-07**

Julho de 1996

# Conjunto fonte máximo em grafos de comparabilidade

Marcos Fernando Andrielli\*      Célia Picinin de Mello<sup>†</sup>

## Sumário

Um grafo de comparabilidade admite várias orientações transitivas. Cada uma delas determina um conjunto fonte para o grafo. Neste artigo propomos um algoritmo que encontra uma orientação transitiva que maximiza o conjunto fonte de um grafo de comparabilidade.

PALAVRAS CHAVES: conjunto fonte, grafo de comparabilidade, algoritmo.

## 1 Introdução

Diversos algoritmos resolvem o problema de encontrar, se existir, uma orientação transitiva para um grafo [1, 5, 11]. Grafos que admitem uma orientação transitiva são denominados *grafos de comparabilidade*.

Numa orientação transitiva pode-se destacar vértices que são fontes ou sumidouros, isto é, vértices com grau de entrada nulo (fontes) ou grau de saída nulo (sumidouro). Note que se um vértice  $v$  é fonte de uma orientação transitiva  $\vec{G}$ ,  $v$  é sumidouro da orientação reversa de  $\vec{G}$ . Nem todo vértice de um grafo de comparabilidade é fonte de alguma orientação transitiva. Olariu [8] e Gimbel [2] caracterizaram vértices de um grafo de comparabilidade que são fontes de alguma orientação transitiva. Szwarcfiter, Mello e Figueiredo [10] descreveram propriedades que relacionam fontes com as cliques maximais do grafo. Posteriormente, em [9], caracterizaram conjunto fonte (um conjunto de vértices que são fontes de alguma orientação transitiva).

Neste artigo propomos um algoritmo para o problema de encontrar, em um grafo de comparabilidade, uma orientação transitiva com conjunto fonte de cardinalidade máxima. Este algoritmo usa a árvore de decomposição modular descrita por Spinrad [11].

O símbolo  $G$  denotará um grafo simples,  $V(G)$  seu conjunto de vértices e  $A(G)$ , o de arestas.  $\vec{G}$  denota uma orientação acíclica de  $G$ .  $\vec{G}$  é *transitiva* quando  $(u, v), (v, w) \in A(\vec{G})$  implica  $(v, w) \in A(\vec{G})$ , para todo  $u, v, w \in A(G)$ . O *grau de entrada* (*grau de saída*) de um vértice  $v$  em um grafo orientado é o número de arestas que possuem  $v$  como extremidade final (inicial). Uma *fonte* é um vértice com grau de entrada nulo, enquanto que um *sumidouro* é um com grau de saída nulo. Um grafo  $G$  é um *grafo de comparabilidade* se admite uma orientação transitiva. Um *conjunto fonte* (*sumidouro*) de um grafo de comparabilidade  $G$ ,

---

\*Universidade Estadual de Campinas, Instituto de Computação, Caixa Postal 6176, 13081-970 Campinas, SP, Brasil. Parcialmente financiado por SAE - Serviço de Apoio ao Estudante.

<sup>†</sup>Universidade Estadual de Campinas, Instituto de Computação, Caixa Postal 6176, 13081-970 Campinas, SP, Brasil. Parcialmente financiado por CNPq e FAPESP.

é um conjunto de vértices que são fontes (sumidouros) em alguma orientação transitiva para  $G$ . Uma *clique* (*conjunto independente*) é um conjunto de vértices de  $G$  dois a dois adjacentes (não adjacentes). Um conjunto de vértices  $X$  é *dominante* se cada vértice de  $V(G) \setminus X$  é adjacente a algum vértice de  $X$ .

Na seção 2, encontram-se alguns resultados de Spinrad [11], necessários para o desenvolvimento de nosso algoritmo. Na seção 3, apresentamos uma demonstração alternativa de que um determinado tipo de módulo possui exatamente duas orientações transitivas. O algoritmo que encontra uma orientação transitiva com conjunto fonte de cardinalidade máxima será apresentado na seção 4 e, finalmente, a seção 5 contém as conclusões.

## 2 Preliminares

Uma decomposição modular, descoberta independentemente por Möhring [6] e Muller e Spinrad [7], é um processo para decompor um grafo. Em qualquer estágio, o subgrafo que está sendo decomposto é um módulo. Cada um dos subgrafos será decomposto recursivamente. Este processo continua até que todos os subgrafos que estão sendo decompostos contenham somente um vértice (módulos triviais).

Um *módulo* de um grafo  $G$  é um subconjunto  $t$  de vértices de  $V(G)$  tal que cada vértice de  $V(G) \setminus t$  é adjacente a todo vértice em  $t$  ou a nenhum vértice em  $t$ . Cada vértice de  $G$  e o conjunto  $V(G)$  são módulos *triviais*. Todo módulo de um grafo pertence a exatamente uma das três classes de módulos: paralelo, serial ou vizinhança. O módulo  $t$  é *paralelo* se  $G[t]$  (o subgrafo de  $G$  gerado pelos vértices de  $t$ ) é desconexo;  $t$  é *serial* se  $\overline{G[t]}$  é desconexo;  $t$  é *vizinhança* se, ambos,  $G[t]$  e  $\overline{G[t]}$  são conexos.

No processo de decomposição modular é construída a *árvore de decomposição modular* da seguinte forma. Considere o módulo  $t = V(G)$ . Se  $t$  é somente um vértice, o próprio vértice é a decomposição modular de  $G$ . Caso contrário,  $t$  é um módulo paralelo, serial ou vizinhança. Se  $t$  é um módulo paralelo (serial), crie um vértice  $P$  ( $S$ ) na árvore e insira como filhos deste vértice as decomposições modulares dos componentes conexos de  $G[t]$  ( $\overline{G[t]}$ ). Se  $t$  é um módulo vizinhança, crie um vértice  $N$  na árvore e insira como filhos deste vértice as decomposições modulares dos submódulos maximais de  $t$ . A árvore de decomposição modular de um grafo  $G$  é única, a menos de isomorfismos [11].

O *grafo representante*,  $R[t]$ , do módulo  $t$  na decomposição modular é o grafo gerado por um subconjunto consistindo de um único vértice de cada submódulo de  $t$  na árvore de decomposição modular.

A figura 1 exibe um grafo; a figura 2 a sua árvore de decomposição modular e as figuras em 3, são os grafos representantes para os módulos  $N$ ,  $S$ ,  $P_1$  e  $P_2$  da árvore de decomposição modular da figura 2.

Observe que o grafo representante de um módulo paralelo é gerado por um conjunto independente, enquanto o de um módulo serial é gerado por uma clique. Na seção 3, mostraremos que o grafo representante de um módulo vizinhança pode ser "pensado" como gerado por um módulo vizinhança cujos submódulos maximais possuem apenas um elemento. Observe, também, que se  $G$  é um grafo de comparabilidade, o grafo representante de um módulo de  $G$  é um grafo de comparabilidade.

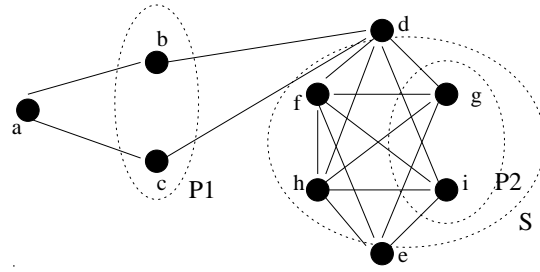


Figura 1: Um grafo  $G$ .

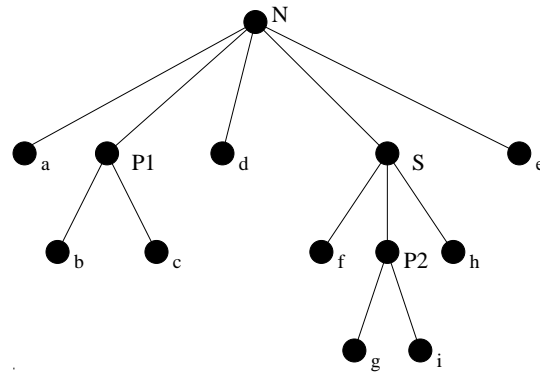


Figura 2: Árvore de decomposição modular de  $G$

Spinrad [11] propôs um algoritmo  $O(n^2)$  que orienta transitivamente um grafo de comparabilidade. Seu algoritmo encontra uma orientação transitiva  $\vec{G}$  para  $G$  se, e somente se, cada grafo representante na decomposição modular de  $G$  possui uma orientação transitiva.

**Lema 1** *Existe uma orientação transitiva para  $G$  se, e somente se, existe uma orientação transitiva para cada grafo representante na decomposição modular de  $G$ .*

O algoritmo de Spinrad orienta cada par de vértices adjacentes  $u$  e  $v$  de  $G$  de  $u$  para  $v$  se, e somente se, os vértices,  $u'$  e  $v'$  de  $R[t]$ , correspondentes aos submódulos maximais de  $t$  na árvore de decomposição modular que contém  $u$  e  $v$  respectivamente, são orientados de  $u'$  para  $v'$  em  $\vec{R}[t]$ .

### 3 Unicidade da orientação transitiva para grafos representantes de módulos vizinhança

Nesta seção apresentamos uma prova alternativa de que o grafo representante de um módulo vizinhança, quando de comparabilidade, admite apenas duas orientações transitivas, sendo uma a reversa da outra. Grafos de comparabilidade que satisfazem essa condição são chamados *UPO* (unique partially orderable).

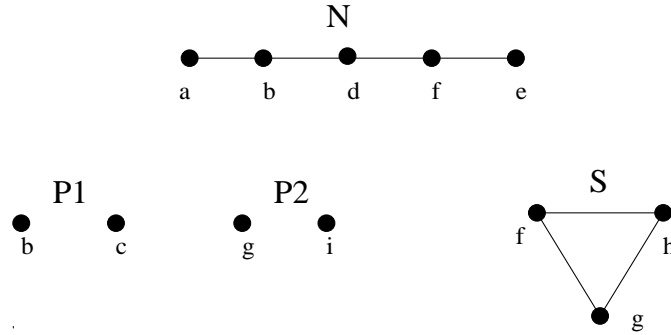


Figura 3: Grafos Representantes

**Teorema 1** *Seja  $G$  um grafo de comparabilidade.  $G$  é UPO se, e somente se, todo módulo não trivial de  $G$  é um conjunto independente.*

A demonstração do Teorema 1 encontra-se em [5].

**Lema 2** *Sejam  $t$  um módulo vizinhança de um grafo  $G$  e  $R[t]$  o grafo representante de  $t$ . Se  $t_1$  é um módulo de  $R[t]$ , então  $t_1$  é trivial.*

**Prova.** Suponha, por absurdo, que  $R[t]$  contenha um módulo  $t_1$  não trivial. Então,  $1 < |t_1| < |V(R[t])|$ .

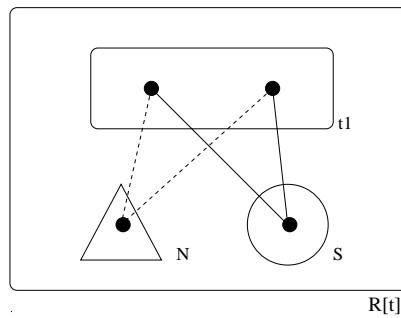


Figura 4:

Então os vértices de  $R[t]$  são particionados em 3 subconjuntos:  $t_1$ ,  $S$  e  $N$  onde  $S$  é formado pelos vértices de  $R[t]$  adjacentes a vértices de  $t_1$  e  $N$  pelos vértices que não são adjacentes a vértices de  $t_1$ , conforme figura 4.

Sendo  $t_1$  não trivial,  $t_1$  contém pelo menos 2 vértices ( $|t_1| > 1$ ) e pelo menos um dentre os conjuntos  $S$  e  $N$  é não vazio ( $|t_1| < |V(R[t])|$ ).

Desde que  $R[t]$  é o grafo representante do módulo vizinhança  $t$ , cada vértice em  $R[t]$  representa um submódulo maximal de  $t$ .

Então seja  $t'_1$  o conjunto dos vértices de  $t$  que são representados pelos vértices em  $t_1$ .  $t'_1$  é um módulo em  $t$ , e contém pelo menos dois outros submódulos, contradizendo a

maximalidade dos submódulos de  $t$  representados em  $t_1$ . ■

Observe que grafos representantes de módulos seriais ou paralelos possuem módulos distintos dos triviais.

**Teorema 2** *Se  $G$  é um grafo de comparabilidade, então o grafo representante de um módulo vizinhança de  $G$  é UPO.*

**Prova.** Seja  $t$  um módulo vizinhança de  $G$  e  $R[t]$  seu grafo representante. Então  $R[t]$  é um grafo de comparabilidade. Do lema 2, todo módulo de  $R[t]$  é trivial. Logo,  $R[t]$  é UPO pelo teorema 1. ■

## 4 O algoritmo

Nesta seção descrevemos um algoritmo que encontra uma orientação transitiva que maximiza o conjunto fonte de um grafo de comparabilidade.

Um conjunto fonte (*conjunto sumidouro*)  $S$  é *exato* quando existe uma orientação transitiva cujas únicas fontes (sumidouros) são os vértices em  $S$ .

Para um grafo de comparabilidade  $G$  e um conjunto fonte  $S$  de  $G$  são equivalentes [10, 3]:

- $S$  é exato.
- $S$  é um conjunto independente maximal.
- $S$  é um conjunto dominante.

Observe que se  $S$  é um conjunto fonte máximo,  $S$  é exato. A recíproca não é verdadeira, veja o grafo de comparabilidade da figura 5.

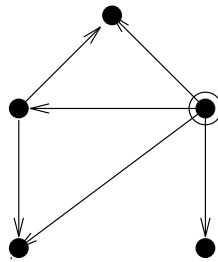


Figura 5:

Sejam  $t$  um nó da árvore de decomposição modular,  $t_i$  um filho de  $t$  na árvore de decomposição modular,  $G[t]$  o grafo gerado em  $G$  pelos vértices do módulo  $t$ ,  $R[t]$  o grafo representante de  $t$ ,  $\vec{G}[t]$  uma orientação transitiva para  $G[t]$  (que maximiza o número de fontes),  $\vec{R}[t]$  uma orientação transitiva para  $R[t]$  e  $v_i$  um vértice de  $R[t]$  que representa o filho  $t_i$  de  $t$ .

O algoritmo descrito a seguir, baseado no algoritmo de Spinrad, associa a cada nó  $t$  da árvore de decomposição modular  $T$  um rótulo,  $r(t)$ , e um conjunto,  $f(t)$ , que indicam,

respectivamente, o número de fontes e o conjunto fonte de uma orientação transitiva que maximiza o número de fontes de  $G[t]$ . O rótulo  $r(t_i)$  também estará associado ao vértice  $v_i$  de  $R[t]$ .

**Algoritmo:** *ConjuntoFonteMáximo*;

**entrada:**  $G$  (grafo de comparabilidade)

**saída:** uma orientação transitiva para  $G$  com conjunto fonte máximo, o total de fontes e os vértices que são fontes da orientação encontrada.

1. Determine a árvore de decomposição modular,  $T$ , para  $G$ ;
2. Construa o grafo representante de cada nó  $t$ , de  $T$ ;
3. Aplique o procedimento *OrientaNó(t)* ao nó raiz da árvore  $T$ ;

**Procedimento:** *OrientaNó(t)*;

**entrada:** um nó  $t$  da árvore de decomposição modular;

**saída:** orientação transitiva de  $G[t]$  que maximiza o conjunto de fontes, os vértices que são fontes e o número de fontes.

1. Se  $t$  é uma folha  $v$ , então
  - $r(t) := 1, f(t) := \{v\}$ .
2. Se  $t$  é um nó  $P$ , então
  - para cada  $t_i$  ( $1 \leq i \leq k$ ) filho de  $T$  faça *OrientaNó(t<sub>i</sub>)*;
  - $r(t) := \sum_{i=1}^k r(t_i), f(t) := \bigcup_{i=1}^k f(t_i)$ .
3. Se  $t$  é um nó  $S$ , então
  - para cada  $t_i$  ( $1 \leq i \leq k$ ) filho de  $T$  faça *OrientaNó(t<sub>i</sub>)*;
  - $r(t) := \max_{1 \leq i \leq k} \{r(t_i)\}, f(t) := \{f(t_i) | t_i \text{ é um módulo onde } r(t_i) \text{ é máximo}\}$ .
4. Se  $t$  é um nó  $N$ , então
  - para cada  $t_i$  ( $1 \leq i \leq k$ ) filho de  $T$  faça *OrientaNó(t<sub>i</sub>)*;
  - Determine as duas orientações transitivas  $\vec{R}_1$  e  $\vec{R}_2$  de  $R[t]$ . Sejam  $P_1$  e  $P_2$  os conjuntos dos índices dos vértices fontes de  $\vec{R}_1$  e  $\vec{R}_2$ , respectivamente;

- se  $(\sum_{i \in P_1} r(t_i)) \geq (\sum_{i \in P_2} r(t_i))$  então

$$r(t) := \sum_{i \in P_1} r(t_i), f(t) := \bigcup_{i \in P_1} f(t_i)$$

senão

$$r(t) := \sum_{i \in P_2} r(t_i), f(t) = \bigcup_{i \in P_2} f(t_i)$$

5. Utilize o método de Spinrad para, a partir dos grafos representantes, orientar  $G[t]$ .

Para cada módulo  $t$  da árvore de decomposição modular, o algoritmo proposto constrói uma orientação transitiva com conjunto fonte máximo para o subgrafo  $G[t]$ . Sendo  $G$  um módulo, o algoritmo devolve uma orientação transitiva,  $\vec{G}$ , para  $G$ , que maximiza o conjunto fonte. O teorema 3 demonstra a corretude do algoritmo.

**Teorema 3** *Seja  $G$  um Grafo de Comparabilidade, o algoritmo ConjuntoFonteMáximo encontra uma orientação transitiva para  $G$  de forma a maximizar o conjunto de fontes.*

**Prova.** Seja  $G$  um grafo de comparabilidade. Sendo  $G$  um módulo, basta provar que o procedimento OrientaNó( $t$ ) encontra uma orientação transitiva que maximiza o conjunto fonte para cada  $G[t]$ .

Se  $t$  é uma folha  $v$ , tem-se  $f(t) = \{v\}$  e  $r(t) = 1$ , por definição de fonte.

Se  $t$  não é uma folha, suponha, por indução, que os filhos  $t_1, \dots, t_k$  de  $t$  já foram visitados pelo procedimento OrientaNó( $t$ ), isto é, cada  $G[t_i]$ ,  $i = 1, \dots, k$ , possui uma orientação transitiva que maximiza o conjunto fonte.

Sendo que  $t$  não é folha, então  $t$  é um nó da árvore de decomposição modular de  $G$  que é um módulo paralelo, serial ou vizinhança de  $G$ . A demonstração do teorema 3 segue dos lemas 3, 4 e 5.

**Lema 3** *Seja  $t$  um módulo paralelo e  $t_1, \dots, t_k$  seus filhos. Então  $G[t]$  admite uma orientação transitiva que maximiza o conjunto fonte e  $r(t) = \sum_{i=1}^k r(t_i)$  e  $f(t) = \bigcup_{i=1}^k f(t_i)$ .*

**Prova.** Seja  $R[t]$  o grafo representante de  $t$ . Sendo  $t$  um módulo paralelo,  $R[t]$  é um conjunto independente com  $k$  vértices. Logo, qualquer orientação transitiva  $\vec{R}$  que maximiza o número de fontes em  $R[t]$  possui os  $k$  vértices como fontes.

Por hipótese de indução, para cada  $1 \leq i \leq k$ ,  $G[t_i]$ , possui uma orientação transitiva que maximiza o conjunto fonte. Desde que não existem arestas entre os vértices de  $G[t_i]$  e  $G[t_j]$ ,  $i \neq j$ , então OrientaNó( $t$ ) preserva as orientações de cada  $G[t_i]$ . Logo, pelo lema 1,  $G[t]$  admite uma orientação que maximiza o conjunto fonte. Portanto,  $f(t) = \bigcup_{i=1}^k f(t_i)$  e  $r(t) = \sum_{i=1}^k r(t_i)$ . ■

**Lema 4** *Seja  $t$  um módulo serial, então  $G[t]$  admite uma orientação transitiva que maximiza o conjunto fonte e  $r(t) = \max_{1 \leq i \leq k} \{r(t_i)\}$  e  $f(t) = \{f(t_i) | t_i \text{ é um módulo onde } r(t_i) \text{ é máximo}\}$ .*



**Prova.** Seja  $R[t]$  o grafo representante de  $t$ . Sendo  $t$  um módulo serial,  $R[t]$  é uma clique. Logo, qualquer orientação transitiva de  $R[t]$  possui apenas uma fonte.

Escolha para fonte, em  $\vec{R}[t]$ , um vértice  $v_i$  tal que  $r(t_i)$  é máximo.

Por hipótese de indução,  $G[t_i]$  admite uma orientação transitiva,  $\vec{G}[t_i]$ , com conjunto fonte,  $f(t_i)$ , máximo.

Pela lema 1,  $G[t]$  admite uma orientação transitiva  $\vec{G}[t]$  tal que  $f(t_i)$  é um subconjunto do conjunto fonte de  $\vec{G}[t]$ .

Sendo que  $f(t_i)$  é o conjunto fonte máximo em  $\vec{G}[t_i]$  e está contido em um mesmo componente conexo de  $\vec{G}[t]$ , tem-se que todo vértice  $v \in (G[t] \setminus f(t_i))$  é adjacente a algum vértice em  $f(t_i)$ .

Logo,  $\vec{G}[t]$  é uma orientação transitiva que maximiza o número fontes em  $G[t]$ . Portanto,  $f(t) = \{f(t_i) | t_i \text{ é um módulo onde } r(t_i) \text{ é máximo}\}$  e  $r(t) = \max_{1 \leq i \leq k} \{r(t_i)\}$ . ■

**Lema 5** *Sejam  $t$  um módulo vizinhança e  $t_1, \dots, t_k$  seus filhos;  $\vec{R}_1$  e  $\vec{R}_2$  as orientações transitivas do grafo representante  $R[t]$ ;  $P_1$  e  $P_2$  os conjuntos dos índices dos vértices fontes de  $\vec{R}_1$  e  $\vec{R}_2$ , respectivamente. Então se  $(\sum_{i \in P_1} r(t_i)) \geq (\sum_{i \in P_2} r(t_i))$  então*

$$r(t) = \sum_{i \in P_1} r(t_i), \quad f(t) = \bigcup_{i \in P_1} f(t_i)$$

senão

$$r(t) = \sum_{i \in P_2} r(t_i), \quad f(t) = \bigcup_{i \in P_2} f(t_i).$$

**Prova.** Escolha  $R_j$  tal que  $\sum_{i \in P_j} r(t_i)$  é máximo. Suponha, sem perda de generalidade,  $j = 1$ .

Seja  $X$  o conjunto dos vértices em  $G[t]$  pertencentes à  $f(t_i)$ ,  $i \in P_1$ . Por hipótese de indução, cada  $f(t_i)$  é um conjunto fonte máximo para  $\vec{G}[t_i]$ ,  $i \in P_1$ .

Pelo lema 1,  $G[t]$  admite uma orientação transitiva,  $\vec{G}[t]$ , tal que  $X$  é um subconjunto do conjunto fonte de  $\vec{G}[t]$ .

Seja  $v \in (V(G[t]) \setminus X)$  e suponha que  $v$  é fonte de  $\vec{G}[t]$ . Sendo que  $t_1, \dots, t_k$  particionam  $V(G[t])$ ,  $v$  pertence a algum  $t_j$ ,  $1 \leq j \leq k$ .

Seja  $v_j$  o vértice representante de  $t_j$  em  $R[t]$ . Se  $j \in P_1$ , então por hipótese de indução,  $f_j$  é um conjunto fonte máximo para  $\vec{G}[t_j]$  e  $v \notin f(t_j)$ . Logo, pelo lema 1,  $v$  não é fonte em  $\vec{G}[t]$ .

Se  $j \notin P_1$ , então pelas equivalências da página 5, existe uma aresta entre  $v_j$  e algum  $v_i$ ,  $i \in P_1$ , em  $R[t]$  ( $v_j$  não é fonte em  $\vec{R}_1$ ). Logo, existe pelo menos uma aresta entre  $v$  e algum vértice pertencente a  $X$  em  $G[t]$ . Portanto,  $v$  não é fonte em  $\vec{G}[t]$ . ■

Na figura 6 estão os grafos representantes da árvore de decomposição modular do grafo  $G$  da figura 1. Os valores entre parênteses são os retornados pelo procedimento OrientaNó( $t$ ). No caso do nó  $N$ , estão representadas as duas orientações possíveis. A orientação escolhida foi a da direita na figura, pois preserva quatro fontes. Finalmente, a figura 7, mostra a orientação transitiva resultante, a qual maximiza o número de fontes e o conjunto fonte.

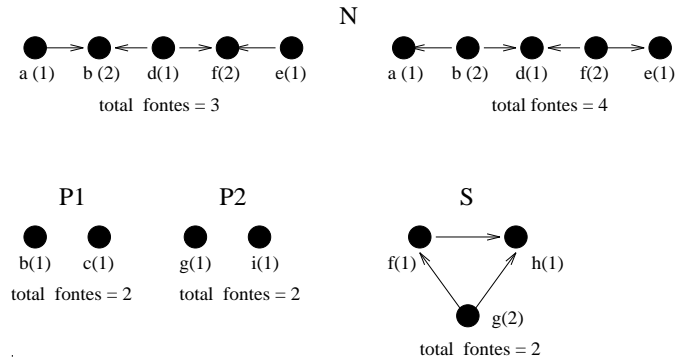


Figura 6: Grafos Representantes

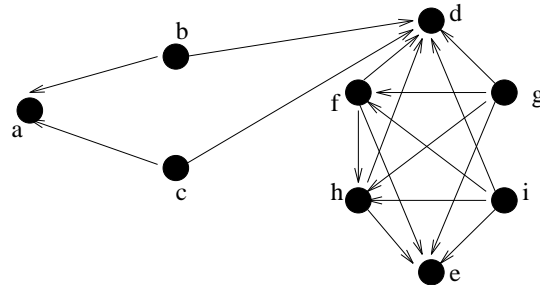


Figura 7: Grafo  $G$  orientado

## 5 Conclusões

Um problema relacionado, e citado em [10], consiste em dado um conjunto de vértices predeterminados  $W$ , verificar se  $W$  é um conjunto fonte máximo para um grafo de comparabilidade.

Em cada passo do algoritmo ConjuntoFonteMáximo construa  $\vec{G}[t]$  com  $X \subseteq f(t)$ , se  $X = W \cap V(G[t]) \neq \emptyset$ . Então  $W$  é um conjunto fonte máximo para o grafo se, e somente se, tal construção for possível e  $f(V(G)) = W$ . Observe que a complexidade do algoritmo ConjuntoFonteMáximo é limitada pela complexidade de encontrar uma orientação transitiva.

Um grafo de comparabilidade pode ter várias orientações transitivas que maximizam o conjunto fonte. Um exemplo são as duas orientações transitivas distintas da figura 8 para o mesmo grafo. Com pequenas alterações, o algoritmo ConjuntoFonteMáximo, pode exibir todas as orientações transitivas. Para isso, basta considerar todas as possibilidades de vértices com valores máximo nos módulos seriais e utilizar as duas orientações no caso de módulos vizinhança, se ambas apresentarem o mesmo número de fontes preservadas.

## Referências

[1] P.C. Gilmore, A.J. Hoffman, A characterization of comparability graphs and interval

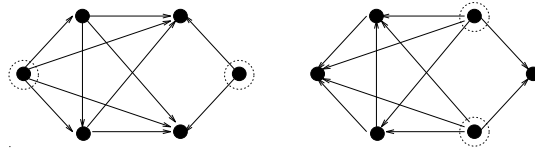


Figura 8:

- graphs, *Canad. J. Math.*, **16** (1964) 539–548.
- [2] J. Gimbel, Sources in posets and comparability graphs, *Order* **9** (1992) 361–365.
- [3] J. Gimbel, A note on sources and sinks in comparability graphs, *Order*, submitted.
- [4] M.R. Garey and D.S. Johnson, *Computer and Intractability: A Guide to the Theory of NP-Completeness*, Freeman, (1979).
- [5] M.C. Golumbic, *Algorithmic Graph Theory and Perfect Graphs*, Academic Press, New York, (1980).
- [6] R. H. Möhring, Algorithmic aspects of comparability graphs and interval graphs, in I. Rival, ed., *Graphs and Orders*, 41–102, D. Reidel, Dordrecht, (1985).
- [7] J. Muller and J. Spinrad, On-line modular decomposition, *Tech. Rep. GIT-ICS-84/11*, Georgia Institute of Technology.
- [8] S. Olariu, On sources in comparability graphs with applications, *Discrete Maths*, **110** (1992) 289–292.
- [9] J.L. Szwarcfiter, C.P. de Mello, C.M.H. de Figueiredo, Sources, Sinks, Even and Odd Pairs in Comparability Graphs, *Rapport de Recherche*, L.I.R.M.M., (1993), to appear *Orders*.
- [10] J.L. Szwarcfiter, C.P. de Mello, C.M.H. de Figueiredo, On finding transitive orientations with prescribed sources and sinks, *Congressus Numerantium*, **98** (1993) 191–198.
- [11] J. Spinrad, On comparability and permutation graphs, *SIAM J. Comput*, **14** n<sup>o</sup> 3 (1985) 658–670.

## Relatórios Técnicos – 1995

- 95-01 **Paradigmas de algoritmos na solução de problemas de busca multidimensional**, *Pedro J. de Rezende, Renato Fileto*
- 95-02 **Adaptive enumeration of implicit surfaces with affine arithmetic**, *Luiz Henrique de Figueiredo, Jorge Stolfi*
- 95-03 **W3 no Ensino de Graduação?**, *Hans Liesenberg*
- 95-04 **A greedy method for edge-colouring odd maximum degree doubly chordal graphs**, *Celina M. H. de Figueiredo, João Meidanis, Célia Picinin de Mello*
- 95-05 **Protocols for Maintaining Consistency of Replicated Data**, *Ricardo Anido, N. C. Mendonça*
- 95-06 **Guaranteeing Full Fault Coverage for UIO-Based Methods**, *Ricardo Anido and Ana Cavalli*
- 95-07 **Xchart-Based Complex Dialogue Development**, *Fábio Nogueira de Lucena, Hans K.E. Liesenberg*
- 95-08 **A Direct Manipulation User Interface for Querying Geographic Databases**, *Juliano Lopes de Oliveira, Claudia Bauzer Medeiros*
- 95-09 **Bases for the Matching Lattice of Matching Covered Graphs**, *Cláudio L. Lucchesi, Marcelo H. Carvalho*
- 95-10 **A Highly Reconfigurable Neighborhood Image Processor based on Functional Programming**, *Neucimar J. Leite, Marcelo A. de Barros*
- 95-11 **Processador de Vizinhança para Filtragem Morfológica**, *Ilka Marinho Barros, Roberto de Alencar Lotufo, Neucimar Jerônimo Leite*
- 95-12 **Modelos Computacionais para Processamento Digital de Imagens em Arquiteturas Paralelas**, *Neucimar Jerônimo Leite*
- 95-13 **Modelos de Computação Paralela e Projeto de Algoritmos**, *Ronaldo Parente de Menezes e João Carlos Setubal*
- 95-14 **Vertex Splitting and Tension-Free Layout**, *P. Eades, C. F. X. de Mendonça N.*
- 95-15 **NP-Hardness Results for Tension-Free Layout**, *C. F. X. de Mendonça N., P. Eades, C. L. Lucchesi, J. Meidanis*
- 95-16 **Agentes Replicantes e Algoritmos de Eco**, *Marcos J. C. Euzébio*
- 95-17 **Anais da II Oficina Nacional em Problemas Combinatórios: Teoria, Algoritmos e Aplicações**, *Editores: Marcus Vinicius S. Poggi de Aragão, Cid Carvalho de Souza*

- 95-18 **Asynchronous Teams: A Multi-Algorithm Approach for Solving Combinatorial Multiobjective Optimization Problems**, *Rosiane de Freitas Rodrigues, Pedro Sérgio de Souza*
- 95-19 **wxWindows: Uma Introdução**, *Carlos Neves Júnior, Tallys Hoover Yunes, Fábio Nogueira de Lucena, Hans Kurt E. Liesenberg*
- 95-20 **John von Neumann: Suas Contribuições à Computação**, *Tomasz Kowaltowski*
- 95-21 **A Linear Time Algorithm for Binary Phylogeny using PQ-Trees**, *J. Meidanis and E. G. Munuera*
- 95-22 **Text Structure Aiming at Machine Translation**, *Horacio Saggion and Ariadne Carvalho*
- 95-23 **Cálculo de la Estructura de un Texto en un Sistema de Procesamiento de Lenguaje Natural**, *Horacio Saggion and Ariadne Carvalho*
- 95-24 **ATIFS: Um Ambiente de Testes baseado em Inje,c ao de Falhas por Software**, *Eliane Martins*
- 95-25 **Multiware Plataform: Some Issues About the Middleware Layer**, *Edmundo Roberto Mauro Madeira*
- 95-26 **WorkFlow Systems: a few definitions and a few suggestions**, *Paulo Barthelmess and Jacques Wainer*
- 95-27 **Workflow Modeling**, *Paulo Barthelmess and Jacques Wainer*

## Relatórios Técnicos – 1996

- 96-01 **Construção de Interfaces Homem-Computador: Uma Proposta Revisada de Disciplina de Graduação**, *F'abio Nogueira Lucena and Hans K.E. Liesenberg*
- 96Abs **DCC-IMECC-UNICAMP Technical Reports 1992–1996 Abstracts**, *C. L. Lucchesi and P. J. de Rezende and J.Stolfi*
- 96-02 **Automatic visualization of two-dimensional cellular complexes**, *Rober Marccone Rosi and Jorge Stolfi*

*Instituto de Computação*  
*Universidade Estadual de Campinas*  
*13081-970 – Campinas – SP*  
*BRASIL*  
`reltec@dcc.unicamp.br`